

## トラス補剛桁のねじりフラッタに関する基礎的研究

立命館大学 理工学部 正員 小林紘士  
立命館大学 大学院 学生員 ○畠中章秀

**1. まえがき** 長大橋に多用されるトラス補剛桁は、風の作用によりねじりフラッタが生じる。トラス補剛桁のねじりフラッタの主要因は、床版部分にあるとしてフラッタを安定化するために床版にグレーチング、鉛直スタビライザーなどが取り付けられる<sup>1)</sup>。一方、主構弦材の配置や送電線、検査路などの公共添加物の設置によりフラッタ限界風速が大きく変化するという報告があり、フラッタの安全性を評価する上において不明な点が少なくない。主構弦材の影響については、久保らにより上流側主構上弦材の剥離流とフラッタ特性の関係について詳細な調査がなされている<sup>2)</sup>。しかし、下弦材や公共添加物などの影響については詳細な研究例は少ない。本研究では、下弦材や公共添加物とねじり1自由度フラッタ特性の関係について調査し、トラス補剛桁のフラッタ特性の基本的な理解を深めることを目標とする。

**2. 実験概要** トラス補剛桁は図1に示すように床版、主構上弦材、主構下弦材にモデル化する。弦材には、15X15(mm)の角材を用いた。実験では、図1のトラス補剛桁モデル(ModelA)のほかに床版+上弦材(ModelB)、下弦材のみ(ModelC)のモデルの応答も調査した。

また、公共添加物の影響を調べるために、トラス補剛桁モデルに15X15mmの角材を設置したケースについても調査した。取り付け位置は、上流側上弦材の位置を原点としてXY座標〔気流方向をX軸、気流直角方向をY軸(下向きを正)〕で示した。モデルは、ねじり1自由度支持とし、回転中心は図1に示すポイントに固定した。無風時の減衰は、 $\delta_s = 0.01$ とした。

**3. 実験結果および考察** トラス補剛桁のねじりフラッタ特性を把握するために、ModelA,BおよびCの応答を調べた。図2(a)は迎角0°の応答を示したものである。横軸は、無次元風速  $V/f_{\pi}B$  ( $V$ :風洞風速,  $f_{\pi}$ :ねじり固有振動数,  $B$ :模型幅) であり、縦軸は、ねじり倍振幅  $2\phi$  (deg) (数分間の定常な応答振幅の最大値) である。ModelCは、ほかのモデルに比べて小さな応答となっている。また、ModelAとModelBの応答はよく一致しており、トラス補剛桁のねじりフラッタは床版部分に作用する空気力の寄与が大きいことがうかがえる。図2(b)は迎角3°の応答を示したものである。迎角0°の場合と異なり、トラス補剛桁と床版+上弦材の応答にはかなりの違いが認められる。これは、下弦材の影響と考えられる。

上述の迎角3°の現象を確かめるためにModelBに上流側および下流側の下弦材を単独に設置した場合の応答を

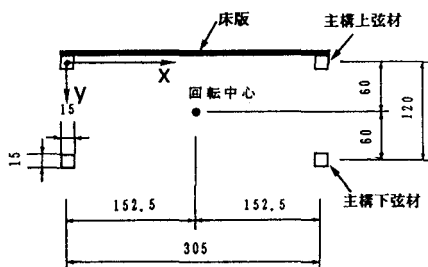


図1 トラス補剛桁のモデル化

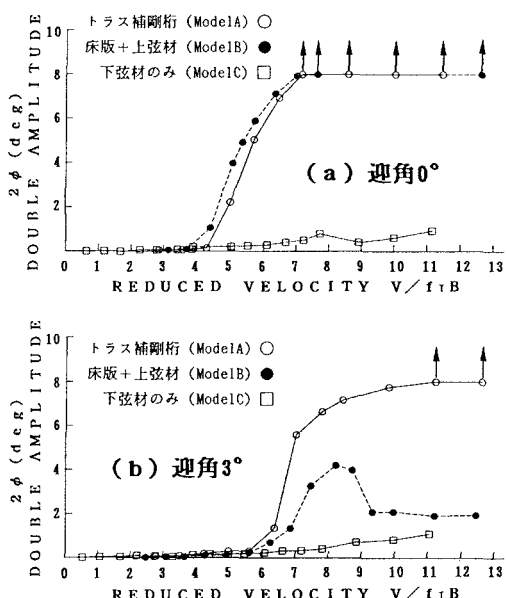


図2 トラス補剛桁のフラッタ特性

調査した。下弦材は、ModelBに直接取り付けないで、風洞内に固定した。床版部分が振動しても下弦材は静止したままである。**図3** にその結果を示す。ModelBの応答は、上流側に下弦材がある場合に、ModelAとほぼ同じ応答となっている。これより、迎角  $3^\circ$  における応答は、上流側下弦材の影響であることが分かる。次に、上流側下弦材の形状を変化させた場合の応答を調査した。 $V_r = 7.5 \text{ m/s}$  における振動発達波形から、自励空気力係数  $A_2^*$  を求めた。その結果を表1に示す。空気力係数の値は、下弦材の形状により異なる。

下弦材と同じ角材を1本のみModelBに追加して応答を調べた。角材をフラッタが安定化する傾向がみられた  $X=75$  の位置に設置して、高さ  $Y$  を変化させた。迎角は  $0^\circ$  とした。 $Y$  の値が小さくなると、フラッタが安定化する傾向が認められた（**図4**）。これは、角材の存在により床版周りの流況が変化するためであると考えられる。

同様に、トラス補剛桁（ModelA）に角材を設置した場合にも、フラッタが安定化することが予想される。角材の取り付け位置を、 $(X, Y) = (75, 100), (150, 100), (225, 100)$  と変化させて応答特性を調べた。上述の実験と異なり、角材はモデル本体に取り付けられている。**図5** にその結果を示す。 $X=75, 100$  の位置で特にフラッタが安定化している。 $X=225$  の位置でもフラッタの発現風速が高風速側に移行している。 $X=75$  に角材を設置したケースについては、**図4** に示した結果と比べてフラッタがかなり安定化している（**図4, 5** の□印）。**図4** のケースでは角材は静止した状態であるが、**図5** のケースでは角材はモデルとともに上下方向に運動する。角材が運動する場合の後流幅は、静止した場合よりも大きくなり、床版周りの流れに対する影響が異なることが原因のひとつと考えられる。

**4. 結論** トラス補剛桁の回転中心を固定したときのねじれフラッタ特性について主構下弦材と公共添加物の影響について調査した。その結果、以下の結論を得た。

①トラス補剛桁のねじりフラッタ特性は主構下弦材に影響される。②下弦材や公共添加物の設置位置によって、フラッタが安定化する。今後の課題として、回転中心が上流側あるいは下流側に移動したときの空力特性の調査、下弦材および公共添加物の最適配置の検討、フラッタの安定化メカニズムの解明等が挙げられる。

**参考文献** 1) T. Ueda etc., JWE, No. 37, 1988, 2) 久保ほか, 第5回構造物の耐風性に関するシンポジウム, 1978

**謝辞** 本研究は、本学4回生小川芳寛君、酒井三千流君の貢献によるところが大きい。記して謝意を表す次第である。

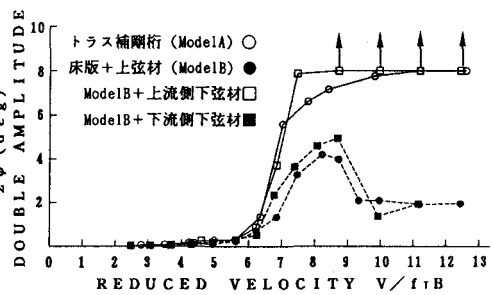


図3 下弦材の影響（迎角  $3^\circ$ ）

表1 下弦材形状による影響

下弦材の形状	$A_2^*$	備考
なし	.0243	—
10X10mm角材	.0548	—
15X15mm角材	.0209	—
20X20mm角材	.0197	—
15X15mm角材 フリーリングあり	.0586	□
15X15mm角材 フリーリングあり	.0367	□

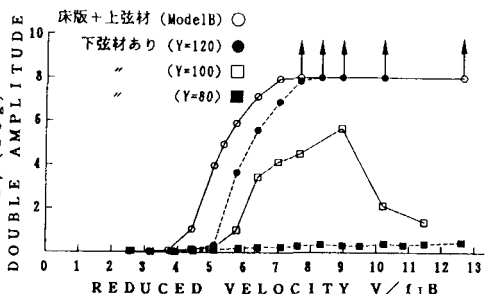


図4 下弦材の影響（迎角  $0^\circ$ ,  $X=75$ ）

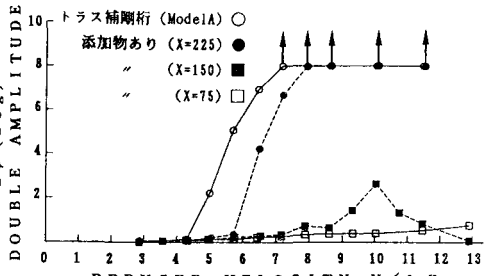


図5 公共添加物の影響（迎角  $0^\circ$ ,  $Y=100$ ）